

تأثیر سیانواتیلاسیون خمیرکاغذ و نانو الیاف سلولزی بر خواص فیزیکی کاغذهای عایق ترانسفورماتور

محمد آزاد فلاح^{۱*} حمید خدابنده‌لو^۲ و امیرعباس شایگانی اکمل^۳

۱- نویسنده مسئول، استادیار، گروه علوم و صنایع چوب و کاغذ، دانشکده منابع طبیعی، دانشگاه تهران، کرج

پست الکترونیکی: adfallah@ut.ac.ir

۲- کارشناس ارشد صنایع خمیر و کاغذ، دانشکده منابع طبیعی، دانشگاه تهران، کرج

۳- استادیار، گروه مهندسی برق، دانشکده مهندسی برق و کامپیوتر، دانشگاه تهران

تاریخ دریافت: مرداد ۱۳۹۴ تاریخ پذیرش: دی ۱۳۹۴

چکیده

خواص کاغذهای عایق الکتریکی ترانسفورماتور متاثر از فرایند اصلاح شیمیایی انجام شده بر روی الیاف است. در این تحقیق تأثیر سیانواتیلاسیون خمیرکاغذ و افزودن نانو الیاف سلولزی سیانواتیل دار شده بر خواص دی الکتریک شامل ظرفیت، تلفات دی الکتریک، مقاومت عایقی، ولتاژ شکست و همچنین مقاومت به کشش دو نوع کاغذ دست ساز تهیه شده از خمیرکاغذ رنگبری نشده الیاف بلند و ترکیبی از آن با خمیرکاغذ سودای باگاس با نسبت ۱:۱ پس از آغشته سازی با روغن معدنی ارزیابی شده است. برای این منظور سیانواتیلاسیون نانو الیاف سلولزی و خمیرکاغذ توسط پیوندنی با آکریلونیتریل به ترتیب در دمای ۴۰°C و دمای اتاناق در شرایط قلیایی انجام شد. پس از آن میزان نیتروژن نمونه های سیانواتیل دار شده با روش کجدال تعیین و درجه استخلاف آنها محاسبه شد. نتایج نشان داد که سیانواتیلاسیون خمیرکاغذ و افزودن نانو الیاف سلولزی اصلاح شده موجب کاهش ظرفیت و مقاومت به کشش کاغذهای عایق شد. همچنین مشاهده شد که اصلاح شیمیایی تأثیر اندکی بر تلفات دی الکتریک داشته ولی مقاومت عایقی و ولتاژ شکست کاغذها را افزایش داده است.

واژه های کلیدی: سیانواتیلاسیون، کاغذ عایق، نانو الیاف سلولزی، خواص دی الکتریک.

مقدمه

صنعت برق به عنوان صنعت زیربنایی و مادر نقش مهمی در توسعه اقتصادی و رفاه جوامع دارد. اهمیت برق از آن جهت است که به دلیل امکان بکارگیری تکنولوژی های مدرن تر و نیز ملاحظات زیست محیطی، در تمامی زمینه های فعالیت می تواند به عنوان انرژی مناسب انتخاب شود. ترانسفورماتور های توزیع یکی از تجهیزات با اهمیت شبکه های توزیع نیروی برق می باشند که در پست های توزیع ویژگی های الکتریکی کاغذ و مقوا از دیدگاه های زیادی دارای اهمیت است. کاغذ به عنوان یک ماده دی الکتریک در خازن ها یا به عنوان عایق در سیم ها، سیم پیچ های کوبل یا

در خازن‌ها و اجزای الکتریکی که استفاده از موادی با ثابت دی‌الکتریک بالا الزام آور است استفاده از پلیمرهایی با ثابت دی‌الکتریک بالا ضروریست. جایگزینی گروه‌های هیدروکسیلی با گروه‌های عاملی ممان‌های دوقطبی بزرگ مانند گروه سیانو در پلیمرهای پلی‌هیدروکسی از طریق سیانواتیلاسیون یکی از روش‌های مطرح برای تهیه پلیمرهایی با ثابت دی‌الکتریک بالاست (Nakayama and Azuma, 1998).

مواضع واکنشی در دسترس در سلولز که همان گروه‌های هیدروکسیل هستند، سلولز را به یک ماده خام ایده‌آل برای سیانواتیلاسیون تبدیل کرده است. در این راستا، سیانواتیلاسیون جزئی سلولز برای بهبود مقاومت حرارتی، شیمیایی و میکروبی مورد مطالعه قرار گرفته است. همچنانی سلولز سیانواتیل دار شده برای تولید محصولات الکتریکی مورد استفاده قرار گرفته است (Nada and Hassan, 2000). در این تحقیق تأثیر سیانواتیلاسیون خمیرکاغذ الیاف بلند و خمیرکاغذ سودای باگاس و همچنانی تأثیر استفاده از نانوالیاف سلولزی سیانوایل دار شده به عنوان عامل تقویت-کننده در ترکیب این خمیرکاغذها بر ویژگی‌های کاغذ دی‌الکتریک نهایی مطالعه شده است.

مواد و روش‌ها

از دو نوع خمیرکاغذ رنگ بری نشده کرافت به عنوان الیاف بلند وارداتی و خمیرکاغذ سودای باگاس تهیه شده از کارخانه پارس به عنوان الیاف مواد غیرچوبی در ساخت کاغذهای عایق دستساز استفاده شده است. این خمیرکاغذها طبق دستورالعمل T228 sp - ۰۸ استاندارد TAPPI به وسیله دستگاه پالایشگر PFI تا سطح درجه روانی $15\text{ ml}\pm 300$ پالایش شدند. نانوالیاف سلولزی از شرکت نانو نوین پلیمر با درصد خشکی $3/5\%$ تهیه شد. متوسط قطر نانوالیاف سلولزی این شرکت کمتر از ۵۰ نانومتر گزارش شده است. نشاسته کاتیونی از شرکت گلوكوزان خریداری شد. برای سیانواتیلاسیون خمیرکاغذها و نانوالیاف سلولزی از هیدروکسید سدیم شرکت قطران

کابل‌ها ویژگی‌های دی‌الکتریک خوبی را به همراه ویژگی-های مناسب مکانیکی و با قیمت نسبتاً پایینی فراهم می‌کند. کاغذ در ترکیب با سایر مواد برای مثال در صورت آغشته-سازی با روغن یا زین در ترانسفورماتورهای توزیع، تابلوهای مدارات الکترونیکی و کاربردهای دیگری استفاده می‌شود (Mark and Borch, 2002).

از سال ۱۹۰۰ مواد عایق سلولزی (غلب کاغذ کرافت) به طور گسترده در تجهیزات توزیع برق پرشده با روغن استفاده شده‌اند (Ferrito and Stegehuis, 2001). با وجود برخی ضعف‌ها، کاغذ کرافت به دلیل ارزانی و کارایی بالا همچنان به عنوان عایق در ترانسفورماتورهای پرشده با روغن استفاده می‌شود. در واقع کاغذ و مقوای فشرده^۱ رایج-ترین عایق‌های مورد استفاده در ترانسفورماتورهای روغنی هستند (Prevost, 2005).

سلولز به تنهایی ضریب دی‌الکتریک بالایی دارد اما ضریب دی‌الکتریک کاغذ پایین است و این به دلیل مقدار زیاد حفره‌ها و خلل و فرج کاغذ است که با هوا اشغال شده‌اند. هوا ضریب دی‌الکتریک پایینی دارد. برای غلبه بر این مشکل کاغذ را با روغن آغشته می‌کنند تا منافذ کاغذ را مسدود کرده و باعث بهبود خواص دی‌الکتریک شوند (Enayati and Abdolkhani, 2007).

موضوع مهم دیگر در رابطه با کاغذ دی‌الکتریک، نوع کاغذ است. کاغذ مورد استفاده در دستگاه‌های الکتریکی عموماً از نوع کاغذ کرافت الیاف بلند است ولی به دلیل کمبود مواد اولیه کاربرد این نوع کاغذ به عنوان یک دی-الکتریک در کشورهایی مانند ایران که منابع غنی جنگلی در اختیار ندارند با محدودیت مواجه است. یکی از راه حل‌های غلبه بر این مشکل استفاده از منابع غیرچوبی است. بر اساس مطالعات انجام شده توسط بسیاری از محققان، کاه و کلش گندم و برنج، باگاس، بامبو و نی مهمترین منابع غیرچوبی هستند که به منظور ساخت کاغذ در دنیا مورد استفاده قرار می‌گیرند.

1- Pressboard

در این معادله A حجم اسید هیدروکلریک مصرفی برای تیتراسیون، N نرمالیته اسید هیدروکلریک و P وزن نمونه است. با توجه به معادله فوق درصد نیتروژن برای نانوالیاف سلوولزی سیانواتیل دار شده $4/76\%$ به دست آمد.

تعیین درجه استخلاف (DS)

درجه استخلاف (DS) الیاف و نانوالیاف سلوولزی سیانواتیل دار شده مطابق با روش Sefain و همکاران (۱۹۹۴) از روی درصد نیتروژن و با استفاده از فرمول زیر محاسبه شد:

$$\frac{درصد نیتروژن \times 11.57}{(درصد نیتروژن \times 3.79) - 1} = \text{درجه استخلاف}$$

با توجه به درصد نیتروژن ($4/76\%$)، درجه استخلاف برای نانوالیاف سلوولزی سیانواتیل دار شده $0/67\%$ به دست آمد.

سیانواتیلاسیون خمیر کاغذ

از مخلوط خمیر کاغذ سودای باگاس و کرافت الیاف بلند (50% باگاس و 50% الیاف بلند) و خمیر کاغذ متشكل از 100% الیاف بلند در فرایند سیانواتیلاسیون استفاده شد. برای این منظور، ابتدا خمیر کاغذ در محلول 3% هیدروکسید سدیم با نسبت $1:100$ در دمای محیط به مدت نیم ساعت تیمار شد. پس از آن به منظور جداسازی سود، سوسپانسیون خمیر کاغذ فیلتر شد. پس از فیلتر کردن وزن نمونه $1/5$ تا $1/5$ برابر وزن اولیه به دست آمد. در مرحله بعد خمیر کاغذ متورم شده با آکریلونیتریل عمل آوری شد. این کار با نسبت $1:20$ و به مدت ۱ ساعت در دمای محیط انجام شد. درنهایت خمیر کاغذ با آب مقطر و اتانول شسته شده و در دمای اتاق خشک گردید. درصد نیتروژن و درجه استخلاف خمیر کاغذها مطابق با روش فوق به ترتیب $2/8\%$ و $0/36\%$ به دست آمد.

آماده سازی نشاسته

نشاسته کاتیونی پیش از استفاده به عنوان عامل مقاومت خشک پخته شد. برای این کار ۱ گرم از نشاسته کاتیونی در

شمیمی و آکریلونیتریل شرکت مرک استفاده شد. روغن معدنی مخصوص ترانسفورماتور از شرکت ایران ترانسفو تهیه شد.

سیانواتیلاسیون نانوالیاف سلوولزی

برابر ۱ گرم نانوالیاف سلوولزی خشک در محلول 5% سدیم هیدروکسید با نسبت $1:160$ در دمای محیط به مدت ۱ ساعت عمل آوری شد. سپس به منظور جداسازی نانوالیافهای سلوولزی از محلول سدیم هیدروکسید، سوسپانسیون سانتریفیوژ شد، به طوری که پس از سانتریفیوژ وزن نمونه تا $1/5$ برابر وزن اولیه به دست آمد. در مرحله بعد نانوالیافهای سلوولزی متورم شده، با نسبت $1:40$ به مدت ۲ ساعت در دمای 40°C با آکریلونیتریل واکنش داده شدند. درنهایت نمونه‌ها با آب مقطر و اتانول شستشو و در یخچال نگهداری شدند.

تعیین درصد نیتروژن نانوالیاف سلوولزی سیانواتیل دار

درصد نیتروژن نانوالیاف سلوولزی سیانواتیل دار شده با استفاده از روش کجدال^۱ اندازه‌گیری شد. برای انجام این کار $0/3$ گرم از نانوالیاف سلوولزی سیانواتیل دار داخل بالن کجدال ریخته و بعد $1500\text{ s}\text{e}$ اسید سولفوریک غلیظ و یک قرص کاتالیزور (مخلوطی از سولفات مس، سولفات پتاسیم و پودر سلنیوم) به آن افروده شد. سپس بالن کجدال داخل کوره با دمای 40°C قرار داده شد تا محلول به رنگ آبی درآید؛ در این مرحله نیتروژن آلی به نیتروژن معدنی تبدیل و سولفات آمونیوم تولید شده است. برای تبدیل سولفات آمونیوم به یون آمونیوم به محلول سود 40% افزوده شد. سپس به محلول حرارت داده شد تا آمونیوم بخار شود. بخار آمونیوم با عبور از مبرد به مایم تبدیل شده و وارد ارلن حاوی معرف اسید بوریک می‌شود و بورات آمونیوم تشکیل می‌شود. در مرحله آخر بورات آمونیوم با اسید هیدروکلریک $1/0\text{ N}$ مالم تیتر شد و با استفاده از معادله زیر درصد نیتروژن محاسبه شد:

$$\frac{A \times N \times 1.4}{P} = \text{درصد نیتروژن}$$

همه کاغذها از ۱/۵٪ نشاسته به عنوان عامل مقاومت خشک استفاده شد. کاغذها مطابق شرایط تیمارهای ارائه شده در جدول ۱ تهیه شدند.

پس از خشک کردن کاغذهای دستساز و همین طور خشک کردن و گاز زدایی از روغن معدنی، همزمان با اعمال خلاً و دما، روغن به سیستم حاوی کاغذها تزریق شد. سپس کاغذها به مدت ۲ ساعت در دمای ۹۰°C تحت خلاً قرار گرفتند تا روغن به طور کامل به حفره های کاغذ نفوذ کند. در پایان کاغذها به مدت ۱۲ ساعت درون آون در دمای ۷۰°C قرار داده شدند تا فرایند آغشته سازی تکمیل گردد.

۱۰۰ میلی لیتر آب حل شد؛ سپس محلول روی هیتر قرار داده شد، به طوری که در مدت ۳۰ دقیقه در هنگام هم زدن دمای محلول به ۹۰°C رسید و به مدت ۳۰ دقیقه در این دما عملیات پخت برای به دست آوردن یک محلول ژلاتینی تکمیل شد.

ساخت کاغذهای دستساز و آغشته سازی با روغن ساخت کاغذ دستساز با گرمایش 60 g/m^2 بر اساس استاندارد TAPPI آیین نامه شماره T205 om-88 و با استفاده از دستگاه ورقه ساز Frank انجام شد. در ساخت

جدول ۱- تیمارها و ترکیب الیاف خمیر کاغذهای عایق الکتریکی

تیمار	ترکیب الیاف
خمیر کاغذ اصلاح نشده (شاهد)	۱۰۰٪ الیاف بلند
خمیر کاغذ اصلاح نشده (شاهد)	۵٪ الیاف بلند + ۵٪ الیاف با گاس
خمیر کاغذ سیانو اتیل دار شده	۱۰۰٪ الیاف بلند
خمیر کاغذ سیانو اتیل دار شده	۵٪ الیاف بلند + ۵٪ الیاف با گاس
خمیر کاغذ سیانو اتیل دار شده + ۱۰٪ نانو الیاف سلولزی سیانو اتیل دار شده	۱۰۰٪ الیاف بلند
خمیر کاغذ سیانو اتیل دار شده + ۱۰٪ نانو الیاف سلولزی سیانو اتیل دار شده	۵٪ الیاف بلند + ۵٪ الیاف با گاس

به عنوان نمونه با استفاده از طیف سنجی FT-IR انجام شد. شکل ۱ طیفهای FT-IR نانو الیاف سلولزی اصلاح نشده و نانو الیاف سلولزی سیانو اتیل دار شده و شکل ۲ طیفهای خمیر کاغذ با گاس شاهد و سیانو اتیل دار شده را نشان می دهد. به طور کلی مقایسه کیفی طیفها نشان می دهد که در اثر پیوند زنی آکریلوفنیتریل تغییرات گسترده در ساختار شیمیایی خمیر کاغذ و نانو الیاف رخ نداده است. بالاین حال ظهور پیک جدید به ویژه در محدوده ارتعاش کششی C-N مربوط به گروه نیتریل انجام موقیت آمیز فرایند سیانو اتیلاسیون را تأیید می کند.

شکل ۳ تأثیر سیانو اتیلاسیون خمیر کاغذ و افزودن نانو الیاف سلولزی سیانو اتیل دار شده را بر دانسته کاغذهای حاصل نشان می دهد. همان طور که مشاهده می شود در کاغذهای سیانو اتیل دار شده نسبت به کاغذهای شاهد، دانسته

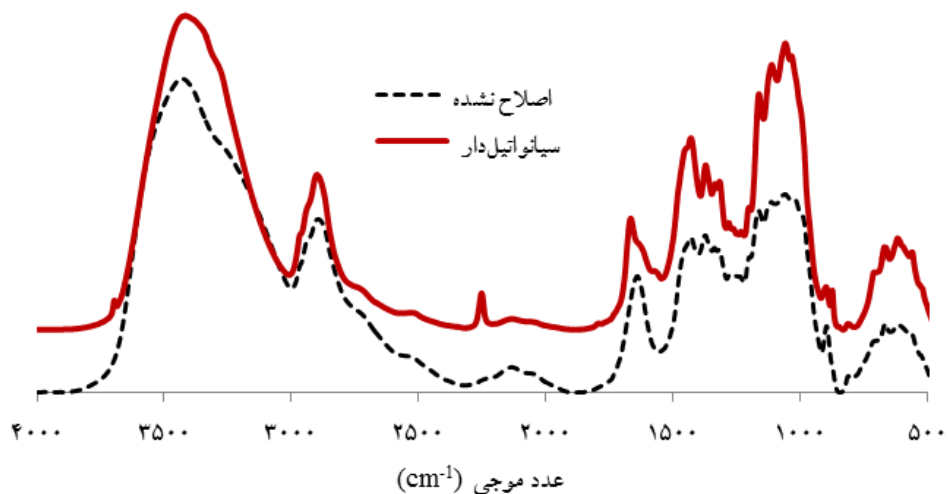
ظرفیت و تلفات دی الکتریک کاغذهای اشباع شده با استفاده از دستگاه SOKEN در دمای ۲۰°C و ولتاژ ۲۰۰ ولت اندازه گیری شدند. همچنین برای اندازه گیری مقاومت عایقی از دستگاه MEGGER در ولتاژ ۵۰۰ ولت استفاده شد. مقاومت کششی کاغذها طبق استاندارد ISO19224 و با استفاده از آزمونگر فرانک اندازه گیری شد. برای اندازه گیری ولتاژ شکست دی الکتریک، الکترودها در فاصله معینی از یکدیگر قرار گرفته و به آنها میزان مشخصی ولتاژ وارد شد. ولتاژ به تدریج تا وقوع شکست افزایش داده شد. به این ترتیب ولتاژ شکست در شرایط خاص به دست آمد.

نتایج

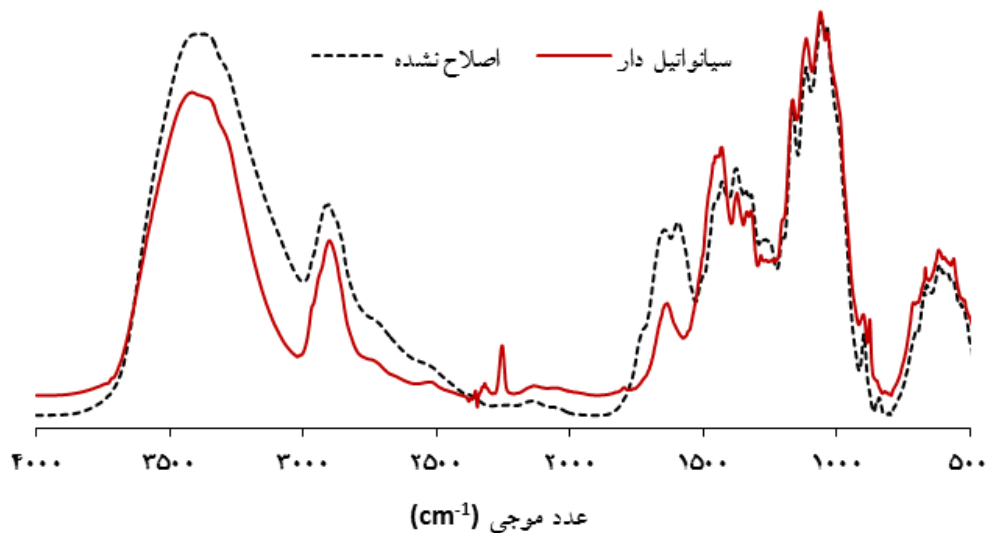
بررسی اثر سیانو اتیلاسیون روی تغییرات ایجاد شده در ساختار شیمیایی نانو الیاف سلولزی و خمیر کاغذ با گاس

در شکل ۴ ارائه شده است. همان‌طوری که مشاهده می‌شود با انجام سیانواتیلاسیون، ثابت دی‌الکتریک اندازی کاهش یافته است.

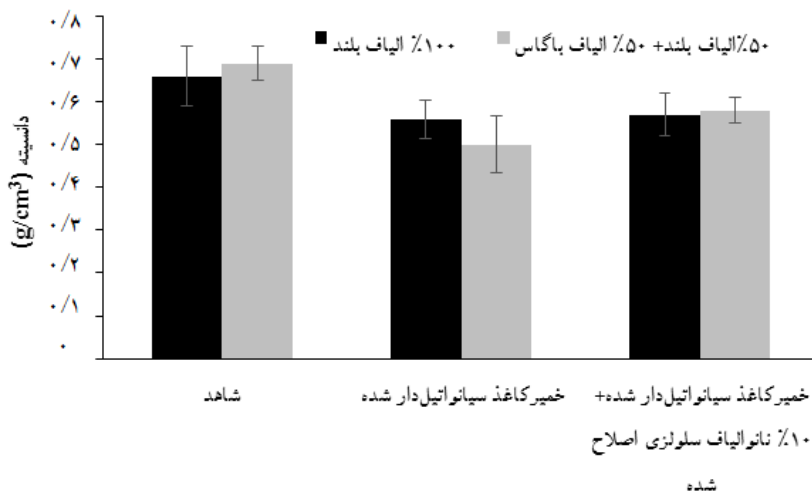
کاهش یافته است و افزودن نانوالیاف سلولزی سیانواتیل‌دار شده بخشی از این کاهش دانسیته را جبران کرده است. نتایج تأثیر سیانواتیلاسیون خمیرکاغذ و افزودن نانوالیاف سلولزی سیانواتیل‌دار شده بر دی‌الکتریک کاغذهای حاصل



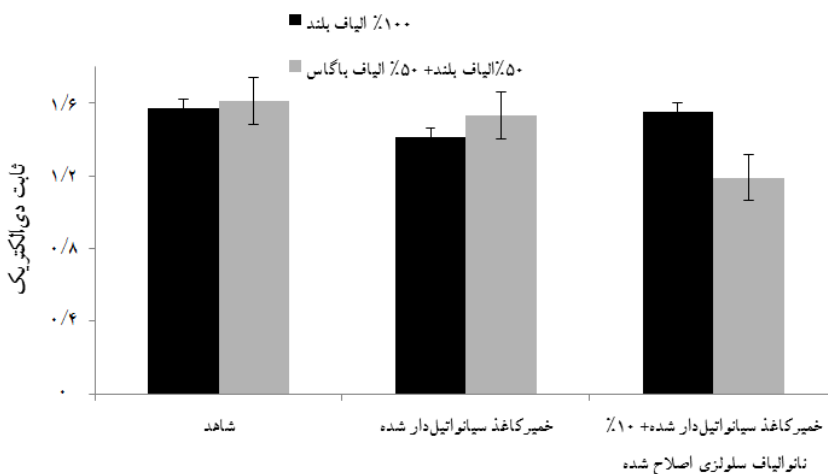
شکل ۱- طیف‌های FT-IR نانوالیاف سلولزی اصلاح نشده و سیانواتیل دار شده



شکل ۲- طیف‌های FT-IR خمیرکاغذ باگاس اصلاح نشده و سیانواتیل دار شده



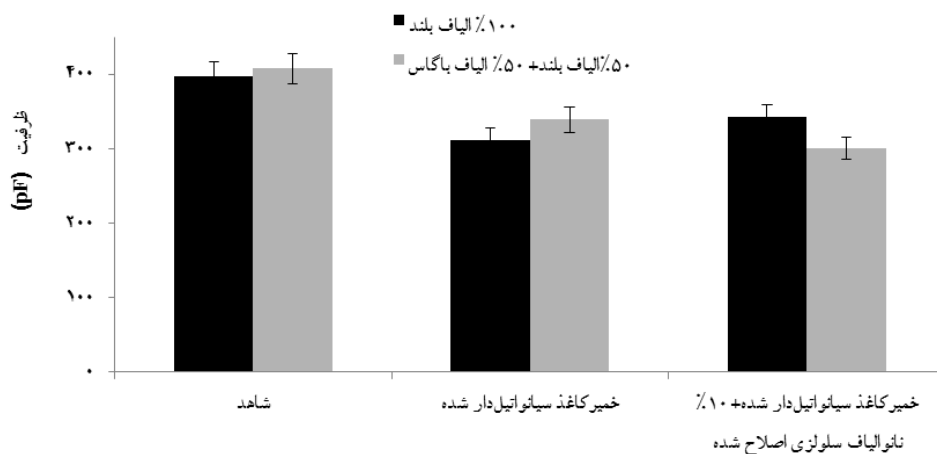
شکل ۳- اثر سیانواتیلاسیون خمیر کاغذ و افزودن نانو الیاف سلولزی سیانواتیل دار بر دانسیته کاغذهای عایق



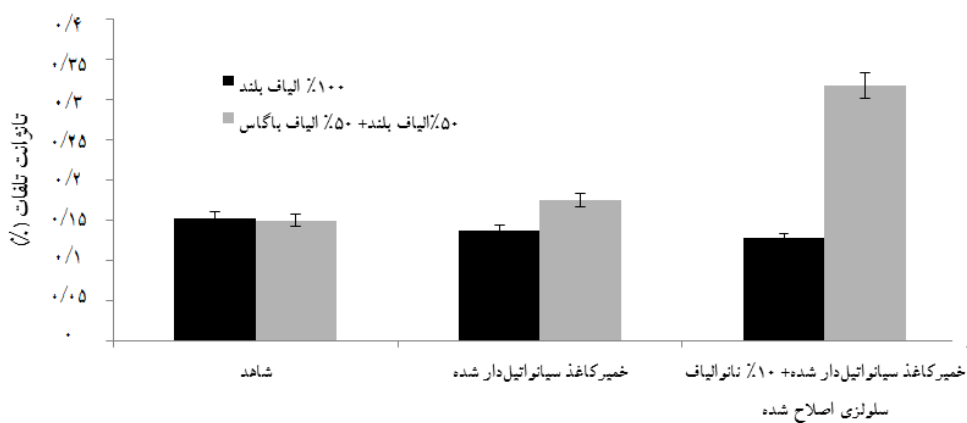
شکل ۴- اثر سیانواتیلاسیون خمیر کاغذ و افزودن نانو الیاف سلولزی سیانواتیل دار بر ثابت دیالکتریک کاغذهای عایق

اثر سیانواتیلاسیون خمیر کاغذ و افزودن نانو الیاف سلولزی سیانواتیل دار شده بر تائزانت تلفات (تلفات دیالکتریک) در شکل ۶ ارائه شده است. کاغذ اصلاح شده (۵۰٪ الیاف بلند + ۵۰٪ باگاس) و تقویت شده با نانو الیاف سلولزی سیانواتیل دار شده بیشترین تائزانت تلفات را نشان داد، در صورتی که بین سایر تیمارها اختلاف معنی داری مشاهده نشد.

شکل ۵ اثر سیانواتیلاسیون خمیر کاغذ و افزودن نانو الیاف سلولزی سیانواتیل دار شده بر ظرفیت را نشان می دهد. همان طور که مشاهده می شود بیشترین ظرفیت برای نمونه شاهد (۵۰٪ الیاف بلند + ۵۰٪ الیاف باگاس) و کمترین ظرفیت مربوط به نمونه سیانواتیل دار شده دارای نانو الیاف سلولزی اصلاح شده است. همچنین بین سایر تیمارها اختلاف قابل ملاحظه ای دیده نمی شود.



شکل ۵- اثر سیانواتیلاسیون خمیر کاغذ و افزودن نانوالیاف سلوژی سیانواتیل دار بر ظرفیت کاغذهای عایق

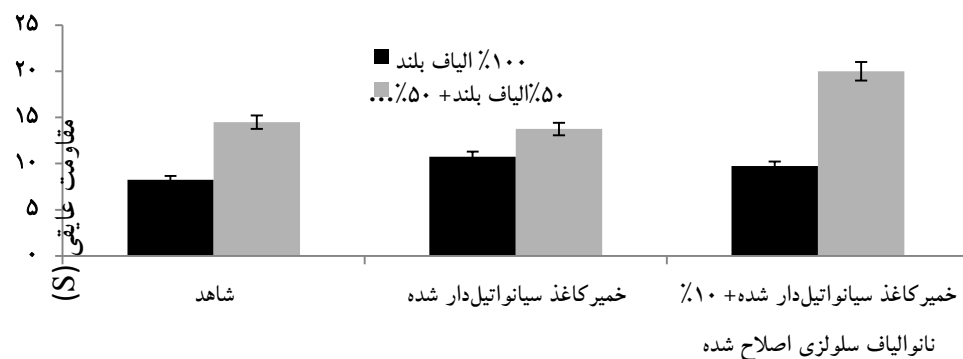


شکل ۶- اثر سیانواتیلاسیون خمیر کاغذ و افزودن نانوالیاف سلوژی سیانواتیل دار بر تانژانت تلفات کاغذهای عایق

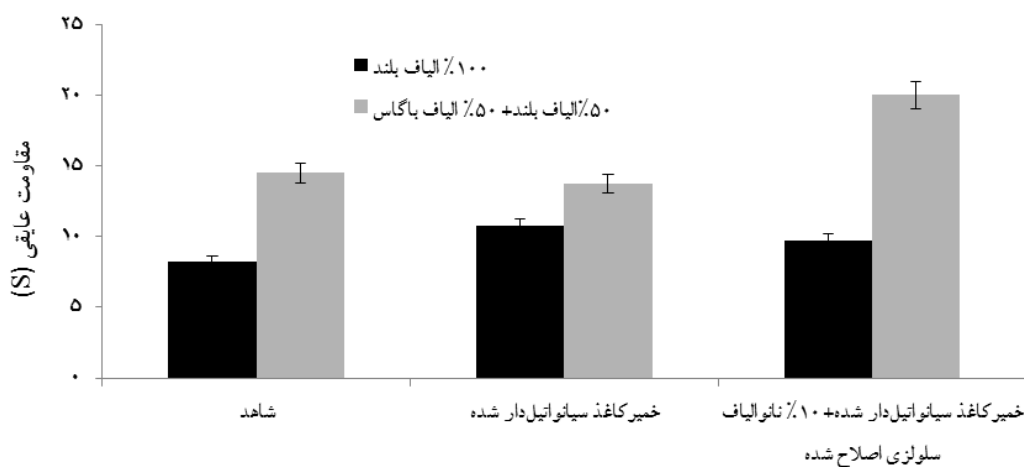
نمونه مقاومت عایقی بهتری دارد. همان‌طور که مشاهده می‌شود کاغذهای ساخته شده از ۱۰۰٪ الیاف بلند مقاومت عایقی بهتری نسبت به سایر کاغذهای نشان دادند.

شکل ۸ اثر سیانواتیلاسیون خمیر کاغذ و افزودن نانوالیاف سلوژی سیانواتیل دار شده بر ولتاژ شکست دی‌الکتریک را نشان می‌دهد. از نتایج مشخص است که با سیانواتیلاسیون خمیر کاغذ و افزودن نانوالیاف سلوژی سیانواتیل دار شده ولتاژ شکست دی‌الکتریک نمونه‌ها افزایش یافته است.

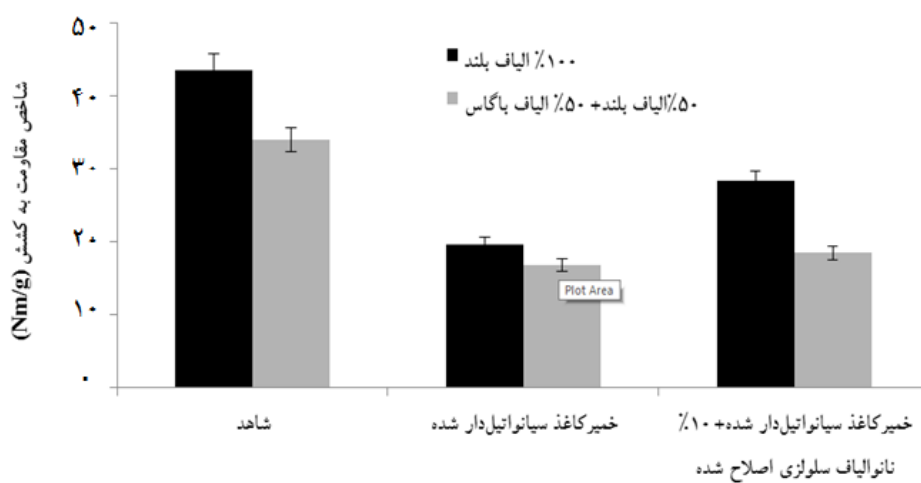
شکل ۷ اثر سیانواتیلاسیون خمیر کاغذ و افزودن نانوالیاف سلوژی سیانواتیل دار شده بر مقاومت عایقی را نشان می‌دهد. مقدار مقاومت عایقی در مدت ۳۰ ثانیه برای نمونه‌ها اندازه‌گیری شد. واحد اندازه‌گیری مقاومت عایقی گیگا اهم است. از آنجایی که مقدار مقاومت عایقی برای همه نمونه‌ها بیشتر از ۵۰ گیگا اهم (حداکثر مقدار قابل اندازه‌گیری توسط دستگاه) بود، از این‌رو برای بررسی، از زمان رسیدن مقاومت عایقی نمونه‌ها به ۵۰ گیگا اهم بر حسب ثانیه استفاده شد. البته هر چه زمان رسیدن مقاومت نمونه‌ها به ۵۰ گیگا اهم کمتر باشد نشان‌دهنده این است که



شکل ۷- اثر سیانواتیلاسیون خمیر کاغذ و افزودن نانوالیاف سلوولزی سیانواتیل دار بر مقاومت عایقی



شکل ۸- اثر سیانواتیلاسیون خمیر کاغذ و افزودن نانوالیاف سلوولزی سیانواتیل دار بر ولتاژ شکست دی الکتریک کاغذهای عایق



شکل ۹- اثر سیانواتیلاسیون خمیر کاغذ و افزودن نانوالیاف سلوولزی سیانواتیل دار بر شاخص مقاومت به کشش کاغذهای عایق

تشکیل پیوندهای هیدروژنی نیز می‌تواند مؤثر باشد. در مطالعه انجام شده توسط Yilmaza (۲۰۱۳) درباره اثر تیمار قلیایی روی ویژگی‌های الیاف پوست ذرت نیز کاهش دانسیته الیاف در اثر تیمار با هیدروکسید سدیم گزارش شده است. اگرچه سیانواتیلاسیون خمیرکاغذ باعث کاهش پیوند هیدروژنی، افزایش تخلخل و کاهش دانسیته در کاغذ حاصل شده است اما با افزودن نانوالیاف سلولزی سیانواتیل دار شده به کاغذ سیانواتیل شده دوباره دانسیته افزایش یافته است. نانوالیاف سلولزی قادر است در منافذ بین الیاف کاغذ نفوذ کرده و با سطح زیادش باعث افزایش پیوندهای هیدروژنی شده و دانسیته را افزایش دهد. در بررسی انجام شده توسط Kajanto و Kosonen (۲۰۱۲)، اثر افزودن نانوالیاف سلولزی بر ویژگی‌های فیزیکی و مکانیکی کاغذ کرافت بررسی و مشاهده شد که با افزودن نانوالیاف سلولزی به کاغذ، دانسیته کاغذ افزایش می‌یابد. همچنین با توجه به شکل ۳ مشخص است که دانسیته برای دو نوع خمیرکاغذ در نمونه شاهد اختلاف معنی‌داری ندارد اما با سیانواتیلاسیون و همچنین افزودن نانوالیاف سلولزی اصلاح شده، دانسیته برای کاغذهای ساخته شده از اختلاط دو نوع الیاف (%۵۰ الیاف بلند + %۵۰ الیاف باگاس) بیشتر شده و اختلاف معنی‌داری را با نمونه‌های (%۱۰۰ الیاف بلند) نشان می‌دهد.

ثابت دی‌الکتریک

ثابت دی‌الکتریک یک ماده به قطبش‌پذیری آن ماده بستگی دارد. هرچه قطبش‌پذیری ماده بیشتر باشد، ثابت دی‌الکتریک آن نیز بیشتر خواهد بود. ثابت دی‌الکتریک مواد پلیمری به قطبش‌پذیری دو قطبی، الکترونی و اتمی آنها بستگی دارد. قطبش‌پذیری دو قطبی به دلیل حضور گروه‌های قطبی در مواد رخ می‌دهد. سلولز یک پلیمر حاوی گروه‌های قطبی (OH) می‌باشد. با سیانواتیلاسیون و ایجاد استخلاف روی گروه‌های هیدروکسیل، از قطبش‌پذیری سلولز کاسته شده و ثابت دی‌الکتریک کاهش می‌یابد. با استفاده از رابطه زیر و داشتن مقدار ظرفیت برای نمونه‌ها،

شکل ۹ اثر سیانواتیلاسیون خمیرکاغذ و افزودن نانوالیاف سلولزی سیانواتیل دار شده بر شاخص مقاومت به کشش را نشان می‌دهد. با توجه به نتایج مشخص است که بیشترین مقاومتها مربوط به نمونه‌های شاهد است؛ اما با سیانواتیلاسیون خمیرکاغذ مقاومتها کاهش یافته است و با افزودن نانوالیاف سلولزی بخشی از افت مقاومت کششی جبران شده است.

بحث

تحلیل طیف‌های FT-IR

پیک جذب در ناحیه 2250 cm^{-1} در طیف‌های مربوط به نانوالیاف و خمیرکاغذ سیانواتیل دار شده نشان‌دهنده گروه‌های نیتریل است که نتیجه فرایند سیانواتیلاسیون است. این پیک در نمونه‌های شاهد وجود ندارد. پیک جذب 2900 cm^{-1} مربوط به گروه‌های CH_2 است. همچنین پیک‌های 1430 cm^{-1} و 1060 cm^{-1} مربوط به گروه‌های COC در الیاف سلولزی هستند. از آنجایی‌که مواضع واکنشی در سلولز گروه‌های هیدروکسیل هستند و پیوندزنی آکریلونیتریل روی گروه‌های هیدروکسیل انجام می‌شود، طبیعی است که با انجام سیانواتیلاسیون از شدت پیک مربوط به گروه هیدروکسیل در ناحیه 3500 cm^{-1} کاسته شود و این امر در مورد خمیرکاغذ باگاس سیانواتیل دار شده به خوبی قابل مشاهده است.

دانسیته

در کاغذهای سیانواتیل دار شده نسبت به کاغذهای شاهد، دانسیته به طور معنی‌داری کاهش یافته است. علت این امر استفاده از هیدروکسید سدیم برای متورم کردن سلولز و در دسترس قرار دادن گروه‌های هیدروکسیل برای واکنش با آکریلونیتریل است. همی‌سلولزها و سلولز احتمالاً در این شرایط قلیایی دچار هیدرولیز شده و باعث کاهش دانسیته کاغذ حاصل شده‌اند. علاوه بر این وارد شدن گروه‌های حجیم آکریلونیتریل در ساختار الیاف و ممانعت آنها از

Gilan و همکاران (2013) اثر پالایش خمیر کاغذ بر ظرفیت را مورد بررسی قرار دادند و ملاحظه کردند که با افزایش سطح پالایش به دلیل تولید نرم‌های بیشتر و فیبریلاسیون الیاف، تخلخل کاغذ کاهش یافته و به دنبال آن ثابت دی‌الکتریک و ظرفیت افزایش یافته است؛ اما در اثر فرایند سیانواتیلاسیون به علت کاهش دانسیته و افزایش تخلخل کاغذ، ثابت دی‌الکتریک نمونه‌های سیانواتیل دار شده کاهش و ظرفیت کم شده است؛ اما در نمونه‌های دارای ذرات نانو الیاف سلولزی سیانواتیل دار شده، ذرات نانو بخشی از منافذ کاغذ را پر کرده و اندکی ظرفیت را افزایش داده است ولی اختلاف قابل توجهی با کاغذهای سیانواتیل دار شده ندارد.

ضریب تلفات دی‌الکتریک ($\tan \delta$)

ضریب تلفات دی‌الکتریک متأثر از درجه پلاریزاسیون روغن است. روغن معدنی ساختار متقارنی دارد، به‌طوری‌که با افزایش ثابت دی‌الکتریک و کاهش هدایت، میزان تلفات را در کاغذها کاهش می‌دهد (Moradian Gilan et al., 2013). در نمونه‌های اصلاح شده به دلیل تخلخل بیشتر، کاهش ثابت دی‌الکتریک و کاهش ظرفیت، تلفات دی‌الکتریک افزایش یافته است؛ اما بجز نمونه اصلاح شده (۵۰٪ الیاف بلند + ۵۰٪ باگاس) دارای نانو الیاف سلولزی سیانواتیل دار، همان‌طور که کاهش ظرفیت برای نمونه‌های سیانواتیل دار قابل توجه نبود، افزایش تلفات دی‌الکتریک نیز بسیار اندک بود. در مطالعه مشابه انجام شده بر روی ویژگی‌های دی‌الکتریک کامپوزیت‌های تهیه شده از باگاس سیانواتیل دار، گزارش شد که سیانواتیلاسیون ضریب تلفات دی‌الکتریک ($\tan \delta$) را در مقایسه با باگاس اصلاح نشده افزایش می‌دهد (Hassan, 2002).

مقاومت عایقی

از آنجایی که مقاومت عایقی نمونه‌ها بر حسب زمان رسیدن مقاومت به $50\text{ G}\Omega$ در نظر گرفته شد، از این‌رو نمونه‌هایی که

میزان ثابت دی‌الکتریک محاسبه شد (Joseph and Thomas, 2008).

$$\epsilon' = C t / \epsilon_0 A$$

که در این معادله ϵ' ثابت دی‌الکتریک، C ظرفیت، t ضخامت کاغذ و A سطح نمونه آزمونی است.

همچنین سیانواتیلاسیون به‌طورکلی باعث کاهش میزان رطوبت (MC) کاغذهای عایق می‌شود. در نتیجه کاستن از مولکول‌های قطبی آب با قابلیت قطبش (پلاریزاسیون) زیاد می‌تواند موجب کاهش ثابت دی‌الکتریک شود؛ اما افزودن نانو الیاف سلولزی اصلاح شده تأثیر متفاوتی داشته است؛ به‌این ترتیب که افزودن نانو الیاف سلولزی به کاغذ حاوی ۱۰۰٪ الیاف بلند باعث افزایش ثابت دی‌الکتریک شده است، اما در مورد کاغذ ساخته شده از اختلاط دو نوع الیاف، افزودن نانو الیاف سلولزی اصلاح شده باعث کاهش ثابت دی‌الکتریک شده است. Thomas و Joseph (2008) با بررسی ویژگی‌های الکتریکی کامپوزیت فنل فرمالدهید تقویت شده با الیاف موز متوجه شدند که سیانواتیلاسیون الیاف موز باعث کاهش ثابت دی‌الکتریک می‌شود. در تحقیقی که توسط Jayamani و همکاران (2014) بر روی ویژگی‌های الکتریکی کامپوزیت‌های تهیه شده از پلی‌پروپیلن و پلی‌استر تقویت شده با الیاف بامبو و کف انجمام شد، مشاهده شد که با کاهش درصد الیاف در کامپوزیت، به دلیل کاهش گروه‌های قطبی و کاهش پلاریزاسیون (قطبی‌پذیری) ثابت دی‌الکتریک کاهش می‌یابد.

ظرفیت

$$C = \frac{\epsilon_A}{d}$$

معادله رابطه بین ظرفیت (C) و ثابت دی‌الکتریک (ε') و همین‌طور وابستگی آن به هندسه نمونه (ضخامت و مساحت) را نشان می‌دهد. البته هرچه ثابت دی‌الکتریک بیشتر باشد ظرفیت نیز بیشتر خواهد بود. هرچه تخلخل کاغذ کمتر باشد ثابت دی‌الکتریک آن افزایش یافته و در نتیجه ظرفیت افزایش می‌یابد.

از آنجایی که مقاومت ذاتی الیاف بلند کرافت بیشتر از مقاومت ذاتی الیاف سودای باگاس است، بنابراین اختلاف بین مقادیر این دو نوع خمیرکاغذ قابل انتظار است. خمیرکاغذ در محیط قلیایی دچار هیدرولیز شده و پیوندهای گلیکوزیدی زنجیره سلولزی گستته می‌شود؛ بنابراین در نمونه‌های سیانواتیل دار شده به دلیل استفاده از هیدروکسید سدیم به عنوان کاتالیزور کاغذ دچار هیدرولیز شده، پیوندهای هیدرورژنی کاهش یافته و شاخص مقاومت به کشش به طور معنی‌داری کم شده است که با یافته‌های Wang و همکاران (۲۰۱۲) مطابقت دارد. با افزودن نانو الیاف سلولزی اصلاح شده به کاغذهای اصلاح شده، پیوندیابی افزایش یافته و شاخص مقاومت به کشش در مقایسه با کاغذهای سیانواتیل دار شده افزایش یافته است که این افزایش برای نمونه ۱۰۰٪ الیاف بلند قابل توجه بوده و نشان‌دهنده پاسخ مناسب‌تر الیاف بلند به حضور نانوالیاف سلولزی می‌باشد. González و همکاران (۲۰۱۲) اثر افزودن نانوالیاف سلولزی را روی ویژگی‌های مکانیکی خمیرکاغذ اکالیپتوس بررسی کردند و مشاهده کردند که با افزایش سطح نانوالیاف سلولزی از ۰ تا ۹٪ شاخص مقاومت Kosonen و Kajanto (۲۰۱۲) در تحقیقی مشابه اثر افزودن نانوالیاف سلولزی را بر ویژگی‌های مکانیکی خمیرکاغذ کرافت بررسی و گزارش کردند که با افزودن نانوالیاف سلولزی به خمیرکاغذ کرافت، شاخص مقاومت به کشش به طور معنی‌داری افزایش یافت.

منابع مورد استفاده

- Casey, J.P. 1980. Pulp and Paper, Chemistry and Chemical Technology. Volume 3(3rd edition). John Wiley and Sons. New York, 236p.
- Enayati, A.A., and Abdolkhani, A., 2007. Dielectric Properties of Wood and Wood-Based Materials, University of Tehran Press. 222p.
- Ferrito, S.J., and Stegehuis, R.L., 2001. High temperature reinforced cellulose insulation for use in electrical applications. Transmission and Distribution Conference and Exposition, IEEE/PES, 2001, Vol. 2, 684-687.
- Hassan, M., 2002. Dielectric properties of cyanoethylated bagasse composites. Polymer Plastics Technology and Engineering. 41(3): 589-600.

در زمان کوتاه‌تری به حداقل مقاومت عایقی ($50\text{ G}\Omega$) رسیدند، مقاومت بهتری دارند. مقاومت عایقی با اختلاف پتانسیل رابطه مستقیم دارد و با افزایش آن افزایش می‌یابد. پس در نمونه‌هایی که ظرفیت پایینی دارند میزان مقاومت عایقی بیشتر است (Moradian Gilan *et al.*, 2013).

همان‌طور که در شکل ۵ مشاهده شد ظرفیت نمونه‌های اصلاح شده اندکی کاهش یافت که همین کاهش اندک در ظرفیت باعث افزایش اندک در مقاومت عایقی شده است و با نتایج Moradian Gilan و همکاران (۲۰۱۳) مطابقت دارد. همچنین اختلاف بیشتری بین مقاومت عایقی نمونه‌های تهیه شده از ۱۰۰٪ الیاف بلند با نمونه‌های حاصل از احتلاط دو نوع خمیرکاغذ (۵۰٪ الیاف بلند + ۵۰٪ الیاف باگاس) مشاهده شد.

ولتاژ شکست دی‌الکتریک

ظرفیت عبارت است از: نسبت مقدار بار به اختلاف پتانسیل یا ولتاژ ($\frac{Q}{L} = C$). ب؛ بر این ولتاژ شکست با ظرفیت رابطه عکس دارد. البته هرچه ظرفیت کمتر باشد، ولتاژ شکست بیشتر خواهد بود. با توجه به شکل ۵ که مقدار ظرفیت را برای نمونه‌های سیانواتیل دار شده کمتر نشان می‌دهد، مقدار ولتاژ شکست برای این نمونه‌ها افزایش یافته است. این افزایش برای نمونه‌های احتلاطی (۵۰٪ الیاف بلند + ۵۰٪ الیاف باگاس) معنی‌دار بوده اما برای نمونه‌های ۱۰۰٪ الیاف بلند قابل توجه نیست. همچنین ولتاژ شکست برای کاغذهای احتلاطی بیشتر از نمونه‌های ۱۰۰٪ الیاف بلند است که با یافته‌های Moradian Gilan و همکاران (۲۰۱۳) مطابقت دارد.

شاخص مقاومت به کشش

مقاومت به کشش در کاغذ متأثر از دو عامل مقاومت ذاتی الیاف و پیوند یابی الیاف می‌باشد. البته هرچه مقاومت ذاتی الیاف و پیوندیابی آنها بیشتر باشد مقاومت به کشش بیشتر خواهد بود. شدت و کیفیت اتصال بین الیاف مهمترین عامل مؤثر بر مقاومت کششی است (Casey, 1980).

- Nada, A., and Hassan, H., 2000. Thermal behavior of cellulose and some cellulose derivatives. *Polymer Degradation and Stability*, 67(1):111-115.
- Nakayama, E., and Azuma, J. I., 1998. Substituent distribution of cyanoethyl cellulose. *Cellulose*, 5(3):175-185.
- Prevost, T., 2005. Degradation of cellulose insulation in liquid-filled power transformers. *EHV-Weidmann Industries Inc. W-ACTI, 2005 4th Annual Technical Conference*.
- Sefain, M.Z., Naoum, M.M., Fadl, M.H., and El-Wakil N.A., 1994. Thermal behaviour of cyanoethylated cellulose. *Theoretica Chimica Acta*, 231:257-265.
- Wang, Y., Tian, M., and Yang, T., 2012. Influence of cyanoethylated chemical modification on transformer insulation paper: molecular modeling study. *International Conference on High Voltage Engineering and Application*, Shanghai, China, 17-20 September, 119-122.
- Yilmaza, N.D., 2013. Effect of chemical extraction parameters on corn husk fibres characteristics. *Indian Journal of Fibre & Textile Research*, 38: 29-34.
- Jayamani, E., Hamdan, S., Rahman, M.R., and Bakri, M.K.B. 2014. Comparative study of dielectric properties of hybrid natural fiber composites. *Procedia Engineering*, 97: 536-544.
- Joseph, S., and Thomas, S. 2008. Electrical properties of banana fiber-reinforced phenol formaldehyde composites. *Journal of Applied Polymer Science*, 109(1): 256-263.
- Kajanto, I., and Kosonen, M. 2012. The Potential use of micro-and nano-fibrillated cellulose as a reinforcing element in paper. *J-FOR- Journal of Science & Technology for Forest Products and Processes*, 2(6): 42-48.
- Majidnia, M., 2013. *Distribution transformers*, Dayere Danesh Publication, 302p.
- Mark, R., and Borch, J., 2002. *Handbook of Physical Testing of Paper*. Marcel Dekker Press. Volume 1: 564p.
- Moradian Gilan, K., Azadfallah, M., Shaygani Akmal, A.A., and Abdolkhani, A., 2013. Dielectric properties of oil impregnated kraft and soda pulps. *Iranian Journal of Wood and Paper Science Research*. 28 (2):329-340.

The effect of pulp and cellulose nanofiber cyanoethylation on the physical properties of transformer insulating paper

M. Azadfallah^{1*}, H. Khodabandehloo.² and A. A. Shaygani Akmal³

1- *Corresponding author, Assistant Professor, Department of Wood and Paper Sciences and Technology, Faculty of Natural Resources, University of Tehran, Karaj, Iran, Email: adfallah@ut.ac.ir

2- M.Sc., Pulp and Paper Technology, Faculty of Natural Resources, University of Tehran, Karaj, Iran

3- Assistant Professor, Department of Electrical Engineering, School of Electrical & Computer Engineering, University of Tehran, Tehran, Iran

Received: Aug., 2015

Accepted: Jan., 2016

Abstract

The properties of transformer electrical insulating papers are influenced by fiber chemical modification process. In this research, the effect of cyanoethylation of fibers and addition of cyanoethylated cellulose nanofiber (CNF) on dielectric properties including capacitance, dielectric loss, insulation resistance, breakdown voltage as well as tensile strength of two grade of handsheets made of unbleached long fibers and its mixture with bagasse soda pulp (with the ratio of 1:1) were evaluated after impregnating with mineral oil. Cyanoethylation of CNF and pulp fibers was performed by grafting of acrylonitrile under alkaline condition at 40°C and room temperature respectively. Then, the nitrogen content of cyanoethylated samples was determined using Kjeldahl method and degree of substitution (DS) was calculated. The results showed that cyanoethylation of pulp fibers and CNF decreased the capacitance and tensile strength of insulated papers. It was also observed that the chemical modification imposed slight effect on dielectric loss, but insulation resistance and dielectric voltage were increased.

Key words: Cyanoethylation, insulation paper, cellulose nanofiber, dielectric properties.